

声学譯丛之五

超声診斷

上海市物理学会声学工作委员会
上海市超声医学研究組 編

上海市科学技术編譯館

PDG

前 言

超声診斷是近十年來才被提出的課題。由於超聲對人體組織不像X線那樣引起放射性損害，同時對軟組織有極為敏感的分辨力，各種臟器與器官均有其獨特的反射規律，並可因囊性、實質性與氣體以及其均質與不均質等差別產生完全不同的反射波形，故除了能分清臟器等本身的位置、輪廓與形態外，尚能提供其內在界面性質的情況。我國自1958年大躍進以後，超聲診斷在全國各地廣泛展開應用，大有成為一門新學科的趨勢。目前這方面的參考資料還很少，為了介紹國外的應用範圍與方法以及其進展概貌與成就，上海市物理學會聲學工作委員會和上海市超聲醫學研究組選譯了近十年來比較有參考價值的文獻76篇，編此譯叢。其中大部分選自1959～1961年刊出的文獻，少數摘譯自早期論文，以介紹了一些早期的觀點與經驗，對了解超聲診斷發展過程中的各種見解是有幫助的。

本輯除了整本出版外，曾分五個部分分冊出版。第一部分是超聲對顱腦的探查，介紹超聲診斷物理基礎，並敘述M波（大腦中綫波）的來源與實驗方法以及M波移位作為顱內占位性病變的診斷依據。日本學者并認為超聲回波波型因顱內肿瘤性質不同而有某種形態上改變的傾向。第二部分是對眼部的探查，其中包括用B型與聚焦探頭，頻率15兆赫，將各種眼疾患的超聲截面聲象圖與組織病理切片進行了對照、比較與分析，証實超聲是一種有前途的診斷工具。其餘多數是用A型，頻率4～6兆赫，探索了各種眼內外疾患的超聲波型，對正常和異常圖型作了分析，並實驗研究了眼組織的超聲聲速與吸收。日本曾用超聲來測定人眼的眼軸長度，精確度達±0.5%。第三部分是對心肺的探查，多數文獻是將超聲信號與心電圖和心音圖等同時記錄，來分析心脏瓣膜運動的發生時間，計測心脏的大小，描記心脏的容積曲線以及檢取血流音的聲強與頻率等；並選擇了三篇有關心音頻譜分析與立體聲譜原理的文獻。第四部分是對腹部肿塊的診斷，介紹了BP型的顯象方法與成果，以及利用A型來診斷胆囊結石、腎結石、子宮肌瘤、卵巢囊肿、妊娠、葡萄胎與子宮頸癌等文獻。第五部分是超聲診斷的其他應用及綜合性文獻，包括三個方面。第一方面是診斷應用的文獻，其中美國Howry對人體軟組織的立體顯象能與解剖形態相配合，是值得注意的；此外有超聲對乳腺肿瘤良惡性與惡性判斷標準的文獻。第二方面介紹超聲診斷儀的裝置與電路設計等，包括美國的A.B.P.型與蘇聯的УЗД-1型等。第三方面是超聲照射對機體影響的研究，認為診斷用劑量對人體是安全的，沒有立即的、延遲的或蓄積性損害。

由於水平有限，錯誤之處在所難免，希望各方面專家與讀者予以指正。

編者

1963年6月

R445.1

3

目 录

第一部分 超声对脑的探查

1. 脑超声图	
IV. M 波——诊断脑内占位性病变的应用价值及其来源的研究	1
2. 脑超声图的临床和实验研究	26
3. 超声对脑内疾患诊断的应用	44
4. 超声对脑肿瘤定位的实验应用 (初步报告)	52
5. 超声对脑内病理的探测	53

第二部分 超声对眼部的探查

1. 眼科学中的超声	55
2. 超声图诊断眼眶肿瘤	60
3. 超声定位术对眼科学的应用——理论观念和眼球介质的声学特性 I. 反射性质	64
4. 时间—振幅调制型超声图法的批判	70
6. 眼球声切面显象的进一步实验观察	76
6. 超声图在眼球内异物的定位与 诊断上的应用	78
7. 玻璃体出血及其超声图的实验研究	80
8. 玻璃体结构的超声研究	81
9. 渗出性视网膜炎(Coat 氏病) 的超声图	82
10. 视网膜剥离的超声图	83
11. 应用超声诊断视网膜剥离	85
12. 成视网膜细胞瘤的超声图	85
13. 脉络膜黑色素瘤的超声图	87
14. 应用超声观察脉络膜剥离	88
15. 眼球后壁超声图的分析	89
16. 应用超声诊断巩膜破裂	90
17. 几种眼睑疾患的超声图	91
18. 急性泪囊炎的超声诊断	93
19. 高频示波器对眼珠超声图的放大	93

20. 眼球諸部超声生物显微镜检查的 实验观察	94
21. 超声在房水、晶状体及玻璃体 内的吸收	96
22. 眼球某些部分的声速测量	98
23. 眼球超声图上测量超声回声间 距离的新快速法	100
24. 人眼屈光的超声研究	101
25. 论应用超声测定眼轴长度	108
26. 超声在眼科中的应用	112

第三部分 超声对心肺的探查

1. 超声多普勒法对心脏运动的分析 及其临床应用	117
2. 超声诊断在心脏的应用	127
3. 利用超声分析心机能及心音	129
4. 超声周围循环检查法	135
5. 超声通过人体胸腔的传輸	141
6. 反射式超声(超声图法)对人离体 心脏的显象(初步报告)	143
7. 心内心音	145
8. 心声谱图——初步报告	151
9. 论心血管音	153
10. 感觉的装置：声的描画	168
11. 应用超声诊断肺部疾患(第1报)	171

第四部分 超声对腹部的探查

1. 应用脉冲式超声探查腹部肿块	175
2. 直接接触超声扫描技术显示 腹部肿块	180
3. 人体器官和组织的超声显象 附一些疾病过程的观察	184

6. 超声在医学診斷方面的試用	194
7. 超声应用于腎結石定位	195
8. 腎脏活組織檢查中的超声波	196
9. 超声波作为診斷的輔助	197
10. 超声对妇产科疾患診斷的应用 (第1報)	197
11. 超声反射法診斷妇产科疾患 (第2報)	198
12. 超声反射法診斷妇产科疾患 (第3報)	198
13. 超声診斷在妇产科領域中的应用	199
14. 应用超声技术測定生物組織的結構	199
15. 应用超声脉冲測定生物組織及 檢測組織密度	200

第五部分

超声診斷的其他应用 及綜合性文献

1. 医用电子学——超声在 医学上的应用	203
2. 軟組織的超声显象技术	207

3. 人体結構的超声三度空間和 实体鏡觀察	214
4. 人体軟組織结构的超声显象	216
5. 应用 15 兆赫脉冲式超声探查軟組織 的技术进展	218
6. 超声的診斷应用	226
7. 对人体乳房肿瘤組織學结构的 超声图的进一步研究	227
8. 人腎骨骼的超声描記	230
9. 日本的超声临床应用及有关的 生物学研究	231
10. 超声診斷的应用	231
11. 应用超声診斷乳腺肿瘤	232
12. 超声探查加速了瘤肿的診斷	234
13. 肿瘤超声診斷装置	240
14. 关于动物器官及組織的超声显象	244
15. 电子超声显象仪及其研究結果	246
16. 超声照射对眼球和眼附件的影响	248
17. 超声照射后存活的肝組織中 的一些改变	250
18. 超声对鼠肝脏的組織學及 組織化学反应的影响	254
19. 15 兆赫脉冲式超声对生物 組織的損害	256

1. 脑超声图

IV. M 波—诊断脑内占位性病变的应用价值及其来源的研究

Jeppsson, S.

«Acta Chirurgie Scandinavica» Suppl. 272: 16, 1961

第一部分

第一章 物理基础

总 论

超声是频率高于人类听觉范围(18~20千赫)的音波。如普通的声一样,超声波需在介质中传播。在液体介质中只有纵波传播;在固体中则可以有横波、表面波与其他类型的波。从声学的观点看来,人体的软组织有液体的特性,故以下仅讨论纵波的数学特性。

现代的技术可以产生高至 10^4 千赫的音波;在这频率的超声其波长与可见光相似。频率越高,则超声在绕射(衍射)和折射方面的物理特性越接近可见光。

短的波长可以使超声形成声束:频率越高,声束特性越理想。当超声束遇到大于波长的物体时,或因反射,或因部分吸收,而产生声“影”。若物体为不均质,如颤骨板障,则其中亦有绕射发生。当声束

遇到小于波长的物体时,则以绕射为主(Lindsay, 1958),其程度随波长与物体大小之差而变化。下面是在超声范畴内制约物理数量的数学定律的简介。

纵波在液体中的声速 v_v 是:

$$v_v = \sqrt{\frac{1}{\rho \beta_{ad}}} = \sqrt{\frac{\nu}{\rho \beta_{ls}}} \quad (1a)$$

纵波在固体中的声速 v_s 是:

$$v_s = \sqrt{\frac{E}{\rho} \cdot \frac{1-\sigma}{(1+\sigma)(1-\sigma)}} \quad (1b)$$

式中:
 ρ —二介质密度

$\times = \frac{C_p}{C_v}$ —定压下比热与定容下比热之比值。

β_{ls} —恒温压缩系数

β_{ad} —绝热压缩系数

E —杨氏模量

σ —泊松比

如此,声速取决于介质的密度与弹性的常数(表1)。

表 1

介 质	温 度(°C)	频 率(兆赫)	声 速(米/秒)	密 度(克/厘米 ³)	声阻抗(克/厘米 ² .秒)
水*	25	15	1495.6	0.997	$1.49 \cdot 10^6$
生理盐水(0.154克分子)	25	15	1504	1.005^{**}	$1.511 \cdot 10^6$
人体软组织	37	2.5	$1490 \sim 1610$	1.06	$1.58 \sim 1.70 \cdot 10^6$
人体软组织(平均值)	37	2.5	1540	1.06	$1.63 \cdot 10^6$
新鲜脑(狗)	24	2.5	1515	1.028	$1.56 \cdot 10^6$
新鲜脑(猪、牛、马)	24	1.8	$1560 \sim 1565$	1.032	$1.61 \cdot 10^6$
脑膜瘤	37	2.26	1540	—	—
骨组织	—	2.5	3280	1.8	$6.1 \cdot 10^6$
骨组织	—	0.8	3360	1.85	$6.2 \cdot 10^6$
碳酸钙(大理石)	—	—	3810	2.65	$10.1 \cdot 10^6$
空气	0	—	331	$1.293 \cdot 10^{-3}$	42.8

* 在 74°C 以下,温度上升 1°C ,声速增加2.5米/秒。在软组织中的声速增加与此大致相同。

** $20^{\circ}\text{C}, 1\%$ 。

下列方程式給出音頻 f 、聲速 v 與波長 λ 之間的關係：

$$\lambda = \frac{v}{f} \quad (2)$$

超聲束有近乎理想的直線特性，此特性取決于波長 λ 與平圓形發射器直徑 D 的比率。超聲速按下式以 φ 度角发散：

$$\sin \varphi = 1.22 \frac{\lambda}{D} \quad (3)$$

至于超聲束的幾何音域，近場與遠場應加以區別（圖 1）。

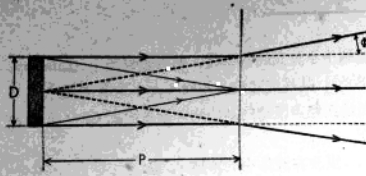


图 1

近場距離 P 是：

$$P = \frac{D^2 - \lambda^2}{4\lambda} \quad (\text{Häter et al., 1954}) \quad (4)$$

表 2

頻率 (兆赫)	發射器直徑 (毫米)	發散角 φ°	近場距離 P (毫米)
1	34	2.7	220
2	24	2.2	215
2	10	4.7	38
4	24	1	430

表 2 (Krautkrämer, 1956/57) 給出在水介質中，在不同頻率與不同直徑（平面發射器）下的近場距離以及遠場發散角度。

在近場中，聲是以平面波形態呈平行而不發散的聲束傳播的。近場外則聲束以 φ 角扁狀發散。平面近場波的來源是由於發射器表面各個點所發射出的球形波之間的干擾（見圖 1）。如果發射器不理想，即從表面上各個點發射出相同的波，聲束就變成不均勻，垂直截面上的聲強分布就不完全均一。這在近場內可引起嚴重的振幅畸變；然而，前後移動發射器以獲得最大振幅，即可予以補償。當探測的距離大於近場長度的 0.6 倍時，聲束垂直截面中聲強分布的不規則性是相對地較小的（Krautkrämer, 1956/57）。

超聲束在介質中傳播時，其中一部分聲強將被

吸收。平面波因吸收而損失的聲強可以用下列方程式計算：

$$I_x = I_0 e^{-ax} \quad (5)$$

振幅的損失可以計算如下：

$$A_x = A_0 e^{-ax} \quad (6)$$

式中， a ——振幅吸收系數

x ——在介質中聲束通過的距離

I_0 ——進入介質前的聲強

I_x ——離開介質時的聲強

A_0 ——進入介質前的振幅

A_x ——離開介質時的振幅

根據 Häter 的研究 a 的增大是與身體軟組織介質中的頻率成正比 (Häter 1948; Häter 和 Pohlman, 1949)。

吸收後的衰減 S ，通常以分貝/厘米表示；聲吸收的方程式可寫作：

$$S = \frac{20 \log \frac{A_0}{A_x}}{x} \quad (7)$$

或

$$S = \frac{10 \log \frac{I_0}{I_x}}{x} \quad (8)$$

而吸收系數 a

$$a = \frac{S}{S \log e} = 0.115S \quad (9)$$

在密度或結構有變化的不均勻介質中，繞射使吸收增加（波長縮短時更甚），造成聲束強度進一步的減低。

與可見光相類似，超聲以角入射進入不同聲速的介質時，即被反射與折射。折射角 γ_2 與入射角 γ_1 ，與第一介質中聲速 V_1 、與第二介質中聲速 V_2 的關係是

$$\frac{\sin \gamma_1}{\sin \gamma_2} = \frac{V_1}{V_2}, \quad (10)$$

入射角等於反射角。

反射後聲強 I_R

$$I_R = I_0 \frac{\left(1 - m \frac{\cos \gamma_2}{\cos \gamma_1}\right)^2}{\left(1 + m \frac{\cos \gamma_2}{\cos \gamma_1}\right)^2} \quad (11)$$

質介 1

介質 2

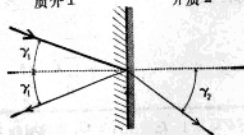


图 2

折射后声强 I_B

$$I_B = I_0 \frac{4m \cos \gamma_2}{\left(1 + m \frac{\cos \gamma_2}{\cos \gamma_1}\right)^2}; \quad m = \frac{\rho_1 V_1}{\rho_2 V_2} \quad (12)$$

折射角等于或大于 90 度时界面发生全反射。当声波经过液体进入固体时，临界入射角约为 15 度 (Crawford, 1955)。

当超声经过一介质进入另一不同声阻抗的介质时，界面即发生反射。反射强度取决于介质的声阻抗率，即密度 (ρ) \times 声速 (v) 的积。在声束垂直入射时声强反射系数 R_I 与振幅反射系数 R_A 是：

$$R_I = \left(\frac{\rho_1 V_1 - \rho_2 V_2}{\rho_1 V_1 + \rho_2 V_2} \right)^2 = \left(\frac{m-1}{m+1} \right)^2 \quad (13)$$

式中 m 等于 $\frac{\rho_1 V_1}{\rho_2 V_2}$

$$R_A = \frac{\rho_1 V_1 - \rho_2 V_2}{\rho_1 V_1 + \rho_2 V_2} = \frac{m-1}{m+1} \quad (14)$$

而这是公式 (11) 的一个特殊情况。

穿透系数 D ，即未被反射而进入第二介质中的声强，是

$$D = 1 - R_I = \frac{4m}{(m+1)^2} \quad (15)$$

值得注意的是在气体与液体或与固体界面间的反射达到 100%，其声阻抗的比值是约 10^4 。

介质厚度必须在一个最小数值以上，才能发生反射，此最小数值是可以计算出的。

当介质的厚度是 d 及波长为 λ 时，反射系数 R_P 是

$$R_P = \frac{(m^2 - 1)^2}{4m^2 \operatorname{ctg}^2 \frac{2\pi d}{\lambda} + (m^2 + 1)^2} \quad (16)$$

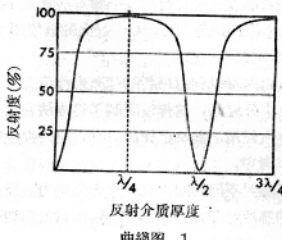
由上得出，当

$$d = (2n-1) \frac{\lambda}{4} \quad (17)$$

时反射系数最大，式中 n 等于 1, 2, 3, ... (曲线图 1)，最大反射 $R_{P_{\max}}$ 可以计算如下：

$$R_{P_{\max}} = \left(\frac{m^2 - 1}{m^2 + 1} \right)^2 = \left(\frac{m - \frac{1}{m}}{m + \frac{1}{m}} \right)^2 \quad (18)$$

如此，反射越大，则二介质之声阻抗间的商越大，即 m 和 1 相差越大。



此公式只适用于表面十分平整的介质，对于结构不均衡的介质或反射粒子群，均不适用。在后一情况下，即使粒子小于一个波长，也有由反射、折射和绕射组成的声场效应，上述现象的结合效应造成声“影”。声束通过这种粒子群时，其强度的减弱大约与 $1/\lambda^4$ 成比例。

超声诊断

综合上述超声物理定律的概要，可以得出下列基本的结论，作为超声诊断的指南。

(1) 超声诊断的应用基础是：超声束在不同声阻抗的介质时，界面发生反射。部分超声被反射回来，成为回声，回声信号可以接收及记录。这就是反射式超声。如介质为均质，超声脉冲从发射器发出，穿过介质，到达反射面再以回声信号返回，所费的时间与声波经过的距离成正比。此距离可用下式计算：

$$l = \frac{1}{2} Vt \quad (19)$$

式中， l ——经过的距离

V ——声速，米/秒

t ——所费的时间，秒

(2) 超声诊断的基础亦可以是超声束穿过介质时被吸收而造成的衰减 (方程式 5 与 6)，原理与 X 线摄影相似。被检物体中不同结构所引起的各种程度的衰减，可以记录并与之相关，因而有诊断的价值。这种方法通常称为穿透式超声。

(3) 每一均匀介质都有其独特的声速，与音频无关 (方程式 1a 与 1b)。式 2 给出了声速、音频与波长之间的关系。根据被检物体的性质，常常需要选用适当的超声频率，选择时需考虑下列因素：

频率高时波长短，超声束的发散角较频率低者小。增加发射器表面直径时亦可以使发散角变小 (方程式 3)。诊断上需要的是窄的、扩散角小的声

束；增高頻率或增大發射器直徑即可達到此目的。實用的最大直徑約為 20 毫米。過大的直徑造成較粗的聲束，定位性就較差。

在近場內可以利用平行的超聲束作研究。近場的範圍是十分短的，這樣就限制了這方法在大小有膜的物体上使用。前文已指出，在近場內振幅畸變必須予以考慮。

為了能對不同的回聲有滿意的分辨力，就必須用較短的脈沖時間，約 5×10^{-6} 秒，而這就需要較高的頻率。

(4) 超聲頻率越高，聲的吸收越大（在軟組織中 a 與 f 成正比），從而擴大聲強損失，也就是說，在軟組織中超聲束的穿透力降低。這些不良效應可以用下列方法來改善：

(a) 提高回聲信號的放大倍數。由於放大器噪聲的關係，只能提高到一定的程度：隨著放大倍數的增加，信號/噪聲比愈加不利，最後達到輸入信號低於噪聲級的程度，以至於不能進行記錄。

(b) 增強發射超聲脈沖的強度。在醫用超聲上，可用的聲強受到對組織產生損害的限制，這功率的數值被認為是在持續超聲中聲強為 $1\sim2$ 瓦/厘米² 時，以及在脈沖式超聲中平均聲強為 $1\sim2$ 瓦/厘米² 時，即開始有所損害（見第二章）。脈沖式超聲可以採用大得多的脈沖強度，而損害組織的危險極微，這是在實踐中一般都採用脈沖式的原因之一。

考慮了上述相互矛盾的因素，凭經驗作出了一個折衷的方法，在腦超聲圖檢查中用 2 兆赫的頻率最為有利。在特殊的病例中，可用 4 兆赫（1 歲以下的兒童）與 1 兆赫（顱骨特別厚者）。

(5) 運用發射器接收器合一的超聲儀進行超聲診斷時，重要的是聲束應與被檢物体表面成直角地射入，這樣可使向其他方向的反射及折射減少至最低限度。同時亦應注意幾何形態的影響。折射使檢查結果失真；反射使超聲束改向以致不能收到回聲信號。

(6) 必須有足够的聲能被反射至接受器，才能產生可以記錄的回聲信號。這個聲能的量是由不同介質間的聲阻抗差所調整的（方程式 13 與 14）：有一個下限，低於下限時回聲信號即被放大器基底噪音淹沒。

(7) 如果要發生反射，介質的厚度必須達到如方程式 17 及 18 所給出的最小數值。在平整的面上，厚度為 $\lambda/4$ 時開始有最大的反射。如果反射面是聲阻抗均與周圍介質不同的粒子群，即使粒子大小

於波長，超聲仍將發生聲“影”。

(8) 在氣體介質中產生的是全反射。所以被檢物体應絕對不含氣體（空氣），因為即使是最小的氣泡，亦能產生嚴重的回聲假象。

第二章 超聲在醫學上應用 的早期研究、診斷價值及 其可能產生的損害作用

超聲診斷

穿透式

穿透式方法是用於超聲診斷顱內疾患的最早方法；主要是 Dussik 兄弟所作的研究，曾於 1942、47、52 年發表次聲法（Hyperphonography）的論文。這種方法利用穿過腦組織及腦脊液時超聲束的衰減不同，可以記錄腦室系統的形狀及部位。作者們認為，在腦組織中較大程度的衰減是由於微體結構（細胞表面和神經纖維的排列）以及涉及彈性和粘性的因素。他們發現腦脊液和水一樣，超聲很容易透過，衰減程度很小。他們採用 1.2~1.5 兆赫的頻率。超聲束與腦矢狀面垂直，掃描時相對側各置壓電晶體，一收一發。通過頭顱後超聲衰減的程度被接收放大，顯象為一顏色深淺不一的陰影，面積等於超聲束的橫截面；最深的表示衰減最小，即超聲束已通過腦室。如此，產生了由許多最深的光點構成的圖象，輪廓與腦室系統相似。腫瘤的診斷是根據正常腦室輪廓的畸形以及超聲束通過時的衰減與周圍腦組織中的衰減之間的比較。

Ballantine, Häter 等（1950）發展了 Dussik 的穿透式方法。他們的方法的基礎是超聲穿過頭顱後被接收到的能量取決於通過時的吸收與散射的程度。他們認為這些聲學上的變量是由於物理現象，即介質的密度、彈性、均勻性和粘度。他們指出，腦組織與腦脊液的超聲吸收的差別，在 2.5 兆赫的頻率下，前者為 $2\sim4$ 分貝/厘米，後者為 0.01 分貝/厘米。

他們再現腦室形像的方法與 Dussik 的方法相似，但更為精緻；他們称之为“超聲腦室造影術”。他們的圖象在技術上較 Dussik 的好些，主要是改善了掃描與記錄，但腦室輪廓的景象仍是粗劣的。

由於 Gütter 等（1952）對穿透式的批評，他們作了一次精密的檢驗（1954）。他們發現，決定超聲穿過頭顱時衰減程度的主要因素是頭顱骨的不同厚

度。这一点使他们十分怀疑 Dussik 所作记录的正确性。他们制造了一具电子补偿机械来补救头颤骨厚度的影响。这种“已补偿的超声图”的对比更差，显示了很大程度的干扰（来自以前记录的头颤骨厚度）。此外尚有因超声束穿过头颤的过程中产生的散射引起可观的图象畸形。他们同时用超声与 X 线摄取头颤的图象，发现头颤骨的厚度是决定“无补偿超声图”外貌的首要而几乎是唯一的因素。用补偿的方法获得的图象，看起来还是象脑室系统的轮廓，然而是有畸形和弥散的，没有实际诊断价值。最后，他们发现在穿透式诊断方法上的劳动是得不偿失的，后即停止研究。

Gättner 等 (1952) 在评论穿透式时指出，超声束穿过颤骨时的衰减较穿过脑组织时大得多——分别为 43 与 1.7 分贝/厘米。所以得出结论，认为颤骨厚度不同所造成衰减的差别压倒并掩盖了超声穿过固体脑组织或脑室系统时产生的小得多的衰减差别。Dussik 的方法完全缺乏正确的物理基础。他们证实，用 Dussik 的方法检查浸在水中的空头颤骨和病人头部时，所得到的结果相同；甚至用光照射空头颤骨的一侧而在另一侧照相时，也可以得到类似 Dussik 的次声图的图象（这里较深的阴影相当于颤骨较薄区）。同时指出，颤骨的球体构形造成超声束的折射，以致图象严重地失真。

总之，Gättner 等与 Ballantine, Hütter 等证明穿透式超声用于诊断颤内占位性病变是无效的。
反射式

最初，Dussik, Ballantine, Hütter, Bolt 等都否定反射式超声诊断颤内占位性病变的价值。Gättner 等于 1952 年彻底研究了以反射式为基础的脉冲式超声诊断颤内疾病的超声物理。他们计算了颤内不同介质的声阻抗，发现其差别是如此小，所以认为不太可能在脑室壁产生反射。以肿瘤组织中的声速为 $1.54 \cdot 10^5$ 厘米/秒，而正常脑组织中的声速为 $1.51 \cdot 10^5$ 厘米/秒，进行计算后 (Ludwig, 1950)，他们认为两者声阻抗的差别过小，不足以在界面上产生可以记录的回声。此外还发现超声束穿过颤骨时衰减很大，以致反射式超声方法不切实用。

美国原子能委员会汇编的论文 (1955) 中亦认为由于颤骨有很高的吸收率，不可能用超声回声的方法来检测颤内疾患。

French, Wild 等 (1950, 1951) 首先发展了以超声回声来诊断颤内占位性病变的方法。他们的器械使用持续时间为 $\frac{1}{2}$ 微秒的 15 兆赫脉冲超声，用石

英晶体作发射与接收。他们证明，超声传播通过含有密度不同的结构的组织时，即在结构的界面上发生反射。反射的声能成为回声，回至出发点，并为石英晶体所接收；经放大电位后在示波管上显出。他们在标本上比较了正常脑组织与脑室膜瘤组织的反射，发现因密度不同，其反射亦有差别，可以用来诊断。在有成胶质细胞瘤的脑标本上，从不同的方向射入超声时，某一区域内反射的次数与振幅同时增加，以后证明，此即肿瘤所在之处。基于以上研究，他们认为可以分辨肿瘤与正常的脑组织，并可以在原位上予以定位。1951 年在结合脑瘤手术的超声研究中证实，当头颤骨去除后进行反射式超声检测时，可以在超声图上分出肿瘤与正常组织。所以这一方法可以准确地诊断肿瘤；但是颤骨会吸收几乎全部的超声能量 (15 兆赫)，故先决条件是切除相应区域的颤骨，这样当然在实际使用上受了限制。

这些作者们应用此法于无此困难的其他场合时更为成功，即诊断乳房肿瘤和用二度超声图分辨良性与恶性肿瘤时有很大的准确性。Howry 与 Bliss (1954) 亦用类似的反射式超声于软组织方面，频率为 2 兆赫，有较强的穿透能力，所得的二度超声图质量亦高。Edler & Hertz (1954) 发展了心脏诊断的反射式超声诊断法。妇产科方面有 Donald 等 (1958)，眼科方面有 Oksala 和 Lehtinen (1958) 以及 Baum 和 Greenwood (1960)，都进行了研究。

Leksell 于 1955 年在超声诊断领域里作了很重要的发展，即用回声的方法在完整的颤骨外诊断出颤内占位性病变。在 1958 年他发展了这种方法并称之为脑超声图。使用普通的超声探伤仪，频率为 $\frac{1}{2} \sim 1$ 兆赫 (1955 年) 和 $1 \sim 2$ 兆赫 (1958 年)。他证明，探头横置于颤骨侧面的颤顶部时，有一个经常出现的显著的回声，它反映颤内正中平面的结构。这就是所谓 M 波 (mid-line echo, 中线波)，可以在左或右侧测得。除 M 波外，尚可见到头皮组织与颤骨组织的反射：开始是入射声束 (始波) 遇到上述组织，以后是遇到对侧颤骨的内侧面时 (底波)。如有单侧天幕上占位性病变，则颤腔中线结构被移向对侧，M 波亦如是。这样就可以用移位的 M 波来作诊断。他举出 3 例儿童经手术证实的颤内占位性病变 (硬膜下血肿、硬膜外血肿、硬膜下囊肿) 皆准确地为超声回波方法所诊断出。在 1958 年的论文中他提出了关于 M 波来源的观察。根据这些，产生 M 波的中线结构至少在成人是和松果体相同的。

1957 年菊池、田中等报导用他们自己设计的超

声回声方法诊断脑内占位性病变的经验。他们用的是2.25兆赫频率。经过方法的改进后，他们可以在颤骨外发现肿瘤并加以定位。他们证明肿瘤组织的衰减较正常脑组织为大，所以后的声阻抗应该低于前者。他们认为声阻抗的差别是大的，在肿瘤与正常组织的界面所产生的反射相当大，足以容易地被记录下来。同时亦认为，与正常相比，手术后脑水肿、麻醉时及50%的癫痫病例中，超声束有不同程度的衰减。他们没有提出临床资料来证明这种方法的准确性。

DeVlieger和Ridder(1959)用Leksell的方法在47例病人中试验脑超声图的可用性与准确性。其中28例脑内占位性病变：25例幕上，3例幕下。用脑血管造影及头颤X线片进行核对。幕下者M波均无移位(经X线证实)，说明幕上中线结构并无侧移。25例幕上者有21例M波移位，经X线证实。2例脑内血肿和2例肿瘤M波未见移位；后者脑血管造影亦无移位，但2例脑内血肿脑血管造影有中线结构移位。其余19例脑超声图及X线检查皆无移位。准确率为95%。

他们亦曾研究M波的来源，认为可能来自大脑纵裂。与Göttner(1952)的观点相反，他们认为可以从脑组织与脑脊液的界面得到并记录回声；因为反射的声能量取决于声阻抗，这函数并不是只与密度有关，而亦与二物质的弹性有关。以后DeVlieger等(1959)发展了脑超声图直接诊断硬膜外与硬脑膜下血肿的方法(根据血肿与脑表面的界面超声反射)。他们在5例中发现底波前有小波偏转，可能是脑表面与血肿界面反射引起的。他们同时亦认为有可能利用脑与血肿界面的反射直接诊断出脑内血肿。

Gordon(1959)着重指出，超声进出颤骨时，由吸收及反射所致的声能损失很大。他亦证实Leksell的发现，即得到了一个明显的反映颤骨正中平面的回声；这在颤部探查时最易获得。他认为M波来自透明隔，主要是它的后部。这个设想是以脑标本漂浮在有机玻璃(Perspex)水槽内作模型实验为根据的，实验的细节不详。将水中的脑沿着两根轴线略作倾斜后，超声束不再垂直射在正中平面上，回声信号的振幅即降低。即使仅作5度的倾斜，回声的振幅就降低一半，指示反射结构是一平面；如果反射结构是球形体，倾斜时不会有衰减。他同时认为有可能从第三脑室的双壁获得回声，如果第三脑室宽于5毫米，这两个回声是可以区分的。

Jefferson在1959年亦发表他的研究，利用M波的移位来诊断幕上占位性病变，并与神经放射学检查方法作比较。起先用的频率是2.5兆赫，后来改为1.5兆赫；他认为后一频率效果较好。试验组共50例，其中42例脑超声图检查的结果是正确的，8例是错误的，准确率为84%。

Lithander(1960)在较多的临床病例中用Leksell的方法以证实脑超声图诊断的准确性。共150例临幕上疑有脑内占位性病变的成人，其中只有112例经过神经放射学或其他方法(外科手术、尸检)的核对。M波有移位的57例中47例经过核对；无移位的93例中65例经过核对。经过核对的病例中除一例外，其余都与其他检查方法的结果相符合。一例可疑的是因为有显著的颤脑不对称，以致X线片不能肯定松果体的相对位置。由于38例未经检查，以致不能算出准确率。但其中有10例M波移位，这似乎是值得注意的。

Newell在1960年第三届国际医学电子学会报告用超声回波方法研究脑内占位性病变的结果。他设计的仪器是用1厘米直径的钛酸钡晶体探头，频率为2.5兆赫，诊断也依据M波的移位。脑超声图的结果与X线片作比较，共50例。27例占位性病变中脑超声图诊断正确的有20例；无占位性病变的23例中，脑超声图诊断正确的有22例。7例有占位性病变而M波无移位，1例有移位而无占位性病变，其准确率为84%。作者认为M波是来自大脑纵裂，但无证据。

损害作用

超声开始用于诊断及治疗时，就发生关于超声对组织损害的问题的争论；对于发生组织损害的声强及途径都作了一些研究。

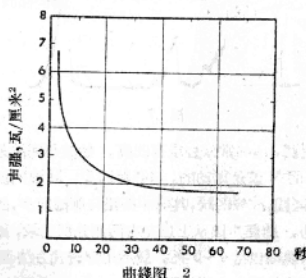
声强阈

Barth和Bülow(1949)对幼犬正在生长的骨组织用频率800千赫、声强2.5瓦/厘米²的连续超声波照射15分钟后，除软组织轻度水肿外，并未发现组织损害。在3.25瓦/厘米²时有明显的疼痛反应，照射5分钟后有轻度组织损害，15分钟后骨组织有严重破坏。作者指出，发生疼痛反应的剂量远较产生组织破坏的剂量为低。他们认为，组织破坏的阈值约为2.5瓦/厘米²的连续超声波照射5分钟。

Brüsehke(1955)在兔的睾丸、卵巢及妊娠子宫上用频率1兆赫、声强3.5瓦/厘米²的连续超声波照射5分钟，每隔2日重复1次共5或6次。有少

数照射时间延长至 15 分钟。总结其结果：(1) 雄性或雌性中无一例发生性机能不全或不育。(2) 可以看到小块变性，主要在睾丸内；然而对功能无损害。(3) 不可能用大的超声剂量来达到不孕。他综述了他人的研究结果：2.2 瓦/厘米²、1.85 兆赫的超声使大白鼠睾丸萎缩(Fanuechi 等)；2.4~2.6 瓦/厘米² 的超声照射 5 分钟使鼠的卵泡萎缩、卵核固缩(Horvath 和 Rupp)；4 瓦/厘米² 的超声照射 4~6 分钟(每周 2 或 3 次)使鼠的后腿瘫痪，但在观察期间(6 周)未见卵巢功能受损(Müllerleisert)；用低于致死剂量的超声照射豚鼠卵巢，未见生育力或卵巢机能受损(Mohr)；1 瓦/厘米² 的超声照射鼠卵巢 5 分钟，发情期提早且持续较久(Friedli)；在 10 分钟内以 35~50 瓦/厘米² 的超声反复照射豚鼠可以造成绝育(Thiele)；1 兆赫 2.5~4.5 瓦/厘米² 的超声照射人类的卵巢，未发现组织学上的改变(Drescher 和 Mohr)。

Hüter (1949) 試驗連續超声波对手、臂、腿的痛阈值，发现声强在 1.8 瓦/厘米² 以下时不論照射多久都不会引起疼痛。在较强的声强下产生疼痛的时间就縮短(曲线图 2)。Hüter 认为痛觉的产生是来自照射点下的骨膜。Ballantine, Bolt, Hüter 和 Ludwig (1950) 用連續式超声频率 2.4 兆赫的連續超声波在两只狗的头皮外照射：一只声强为 3 瓦/厘米², 11 1/2 分钟；另一只 1.5 瓦/厘米², 15 分钟，結果脑组织都无组织学上的改变。15 瓦/厘米²、800 千赫的超声照射猫的头部 5 分钟，同时作脑电图检查，仅见皮肤与皮下组织有表浅的坏死，并无指示脑部损害的神经学征状。二个人在头皮外用連續超声波照射，频率为 800 千赫，声强为 2 瓦/厘米²，照射 9 秒后仅觉头皮有微痛，脑电图无改变。



Hüter 和 Bolt (1951) 在动物经麻醉后分离出的周围神经上作了研究，声强达 45 瓦/厘米²，神经

仅有刺激，出现动作电位。他们得出结论：超声的损害取决于其热效应；1 瓦/厘米² 的声强是在连续超声波的损害阈以下。

Hüter (1954) 认为脉冲超声的损害阈较低，产生疼痛反应的剂量显著地低于产生组织损害的剂量。不论照射多久，剂量与 $t \cdot (I - I_0)$ 成正比，式中 t 为照射时间， I_0 为无痛声强级。发生疼痛的声强 \times 时间积比可致骨损害的阈值小 50 倍。

Wild, Reid 与 Gordon 等认为，用声强若干瓦/厘米² 连续式超声波照射数分钟，且无骨组织介入，才会使细胞产生损害。而目前用的诊断仪声强仅为数微瓦，脉冲持续时间亦仅数微秒，故组织所受的能量远较损害阈值为低。

生物学效应

超声的生物学效应还不完全清楚，Balds、Herrick 等归纳如下：(1) 热效应是因吸收声能后转变为热，局限于不同声阻抗之介质的界面上；(2) 组织经超声照射后产生相当大的机械力，机械效应可分为空化作用和介质的变形，声强 5 瓦/厘米²，频率 0.8 兆赫的超声可使介质中的基本粒子重力加速度达 10 万倍以上；(3) 化学效应，涉及氧化物的形成。他们还发现在频率低时空化作用较大，在频率高时热效应更明显。冷却照射的组织可以降低热效应，而空化作用可以在介质上加一足够的压力来解决。他们用牛眼的晶状体及分离的神经作研究，发现 1 兆赫频率、52 瓦/厘米² 声强峰值的连续超声波造成晶状体不可回复性的凝固；5 瓦/厘米² 的超声波照射 3 1/2 分钟后，动作电位消失，造成完全性神经传导阻滞，上述组织所产生的损害及病理过程与加热的效果完全相同。Herrick (1953) 认为神经组织对超声作用是比较敏感的；包埋在肌肉中的小神经与肌肉一起受超声照射时，小神经发生变性，而周围的肌肉并无变化。

与此相反，Fry (1958) 认为超声的生物学效应不是热的关系，而是由于亚微观机械作用的原因。他观察到损害灰质所需的超声强度较损害白质的高 50%，Ballantine 等 (1956) 的发现证实这一论点。

Lynn 和 Putnam 发现神经节细胞对超声最敏感，神经胶质细胞次之，而血管壁最差；故认为超声的初级生物学反应不是单纯的热效应。Dunn 亦有同样的观点，认为超声的物理效应主要是在于亚微观结构，而所观察到的组织改变是与其次级过程

有关的。

結 論

- (1) 穿透式超声診斷的方法缺乏物理根據。
- (2) 反射式超声診斷方法亦即腦超声圖，是有希望的。
- (3) 將探頭在頭顱側面探查時，腦超声圖上出現一明顯的M波，反映顱內中線結構。
- (4) 天幕上占位性病變時產生中線結構側向移位，M波亦同樣移位。利用來作診斷的就M波的移位。
- (5) 在比較少的臨床病例組中研究了這方法，結果其準確率約為84~95%。
- (6) 產生M波的顱內中線結構，有認為是松果體(Leksell, 1958)，有說是大腦縱裂(De Vieger, 1959, Newell等, 1960)，透明隔，並可能是第三腦室(Gordon, 1959)。
- (7) 兒童與成人的M波來源是否相同，則尚未研究。
- (8) 連續超聲對組織損害的安全閾是1~2瓦/厘米²，與時間無關。脈沖超聲的閾值相同，但系平均聲強。
- (9) 1兆赫以上的超聲照射的初級生物學反應在很大的程度上是熱效應的結果，局限於聲阻抗不同的介質間界面上，聲阻抗差別越大則反應越顯著。
- (10) 有些作者(Fry, 1958, Dunn, 1958)認為在亞微觀結構中有獨特的機械超聲效應。

第三章 方 法

超聲回聲儀

本研究根據Leksell(1958)所述的操作方法，採用標準回聲探測儀(Krautkrämer USIP 9型)。鉛鋁探頭(一收一發或同一探頭兼作接收之用)直徑常規用24毫米，對幼兒用10毫米。用液体石蜡作為耦合劑。頻率選用1~4兆赫，通常用2兆赫。每秒發射250次脈沖，脈沖持續時間約5·10⁻⁶秒。示波管上的圖象用照相機記錄之。

為了便於比較左右兩側的腦超声圖起見，在一侧將示波管的Y軸偏轉板倒轉，使左右兩側都攝於同一底片上(重複曝光)，右側的偏轉向上，左側的偏轉向下，如圖5。

從腦超声圖的照片上直接測量時，“回聲距離”即圖5中的a。照片上測出的距離與超聲穿過的實際距離之間的關係，曾在56例病人頭顱上作了研究：腦超声圖上1毫米等於在頭顱中的3.56毫米。另外在有機玻璃水槽中用鹽水作試驗，其結果亦非常接近，1毫米等於3.57毫米。

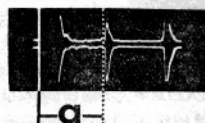


圖 5

操作方法

當超聲探頭置於頭顱的額頂區，方向與顱腔正中平面大致垂直時，可以記錄到數個振幅不同的回聲；這記錄(如圖7)即腦超聲圖，它包括：首先是一個極大而闊的偏轉(只有很小一部分在示波屏上出現)，系顱外軟組織與顱骨的反射，稱為始波，其陡峭上升的一側表示晶體與头皮間的界面反射，被用作零位。在腦超聲圖的另一端通常亦有一個大的恒定回聲，是對側顱骨內面的反射，稱為底波。在始波與底波之間通常亦有一顯著的回聲，它的出現主要決定於探頭放在額頂區的地位與如何放法。這個回聲被稱為中線波(M波)，在超聲圖上它的波形較粗，

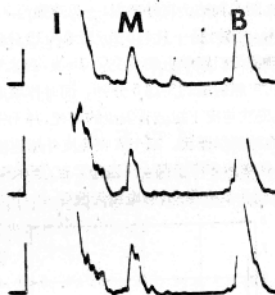


圖 7

基底寬闊，頂部常分裂或有凹痕。始波與底波是固定的，而M波是搏動的，與心跳同步。M波的波形粗，基底闊，波峰凹陷，其脈沖振幅與脈搏同步，故易於鑑別。腦超聲圖從上述左右兩側分別記錄，每次檢查常規地包括4~5次。最後用穿透式方法測定兩側探頭放置點之間的距離。

M波是來自大腦正中平面的或其後相近的結構的反射。單側的顱內占位性病變常將這些結構推向

对侧，在这种情况下也造成 M 波相应地移位，可据此作出诊断。

作超声检查时，除上述的几个波以外，尚可接收到其他几个回声信号，有时与 M 波振幅相似，在早期造成误诊，所以有必要加以核对。方法（图 8）是在获得右侧 a 和左侧 b 回声距离的探头放置点，用穿透式超声求得其间的距离。如果确系 M 波则应符合下列方程式：

$$\frac{1}{2} \cdot (a + b) = c$$

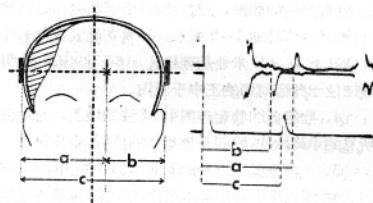


图 8

如与此式不符，则意味着矢状面旁的回声（parasagittal echo）被误认为 M 波（如图 9）。这个对照的方法亦不是绝对可靠的，当矢状面旁的回声有非常强烈的反射来源时（如脉络丛钙化），则回声的

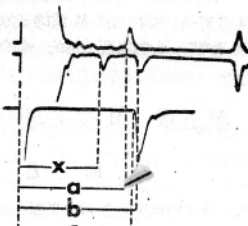


图 9

距离亦可与公式符合，在这种情况下可根据 M 波的特性外貌来作判断。de Vlieger (1959) 与 Lithander (1960) 曾报告过相似的对照方法。

在创伤的病例中产生误诊最多的是由于额外的血肿或肿胀恰在探头检查之处造成头颤的变形。这必须加以考虑及调整，否则 M 波的移位可造成误诊（图 10）。调整的方法如下：

在脑超声图上分别测量左右侧之零位至底波的距离 (D_r 与 D_l)，代入下式求出因数 F：

$$F = \frac{D_r - D_l}{2}$$

再将变形侧获得之回声距离减去 F 即可。

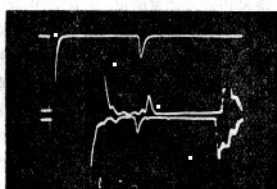


图 10A

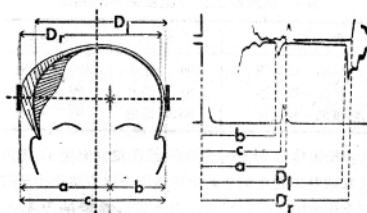


图 10B

第二部分

第四章 临床脑超声图上 M 波来源的观察

成人脑超声图

脑超声图早期研究中清楚地示出，在头颤的侧面有一理想区，将探头放置于此区域内可使脑超声图上有良好的 M 波图象。Leksell (1955) 认为此区

域是在额颞部或额顶部。本文作者通过 1000 余例脑超声图的检查，认为此理想区是在耳垂直线上紧靠耳轮上方或外耳道孔上 4~5 厘米处。

理想区的位置是 M 波在正中平面上的位置与此区域互相对应所决定，抑或是此区的有利条件诸如几何形态的关系、颤骨厚度等所造成的，尚不太清楚。在后者的情况下 M 波的来源可能是一较大的中线结构，而 M 波则仅可能在此理想区内获得。从解剖学的观点来看，M 波的来源可能是下列中线结

构或其組合：(a) 第三脑室壁和透明隔；(b) 松果体区；(c) 大脑纵裂；(d) 大脑镰。另一方面，如果理想区的存在和位置，假定是因为与中綫结构上强烈的M波来源相对应的话，在解剖学上的观点看来，这结构将是松果体。

在4例病人临終前以上述方法作了脑超声图检查头顱及其内容物，并将M波移位程度与尸检所見中綫结构移位程度作比較，发现M波的移位情况与松果体的位置相一致。

另外一例硬膜下血肿病人手术前脑超声图M波移位8毫米。X綫头顱平片上测得钙化的松果体移位10毫米。两者頗为相符，手术后重复脑超声图检查，发现M波逐渐回复原位。7日后M波已无移位。重复X綫片检查时，松果体亦在中綫部位。

用类似Leksell(1958)的方法，即在正中平面的額部、前囱及顱顶部分別用X綫不透光的物质作記号然后摄片，测量各点至松果体的距离。再将探头置于上述三点上对准松果体作脑超声图检查，都获得了与零位距离不一的明显回声。测量其間的距离并以X綫片上的距离作比較。从下表中看出两者之間是非常符合的。

表5 从皮肤上記号至松果体的測距

起訖点	X綫片	脑超声图
額部～松果体	104 毫米	105 毫米
前囱～松果体	81 毫米	80.5 毫米
顱顶部～松果体	85.5 毫米	84 毫米

松果体为M波来源的可能性更加充实了，因为只有球形体的几何形态才可能用上述方法产生所有三个因次的可记录回声。具有板形性状的反射结构，如第三脑室壁、大脑纵裂等，几何形态最不宜于在中綫处探查。

儿童脑超声图

脑超声图曾检查过很多儿童，探头放置在和成人相仿的部位，可获良好的M波图象。通常在耳垂直綫前1~2厘米，外耳道孔上3~4厘米处。与冠状缝直綫并紧接颧骨弓上之上处亦可以获得明显的M波，故理想的探測点不易确定。

超声探头在儿童正中綫上探查时与成人的結果相反，在顱底的反射前沒有明显的回声。

在儿童头顱的侧面有較大的理想区是說明M波的来源与成人不同。結合到在正中綫探查时沒有回声。这指出M波的来源是扁平的，由脑的部分正中

平面組成，大小不一。这位于脑正中平面的扁平的解剖结构是第三脑室壁、透明隔、大脑纵裂与大脑镰。

注釋

綜合成人及儿童临床上的脑超声图观察，发现：

1. 在头顱的侧面有一个获得M波的理想区。
2. 这区域的位置在成人比較精确，即外耳道孔上4~5厘米及耳垂直线上或略前方，松果体复体正位于此区对面的正中平面中。
3. 在儿童此区域包括头顱侧面較大的部分，位置不够精确，即顱部，向前(額部)至冠状缝，向后(枕骨)至耳垂直綫前1~2厘米。通常在此区域内的外耳道孔上3~4厘米处是理想区。第三脑室及透明隔即位于此区对面的正中平面內。

4. 临終前的脑超声图中M波的位置，与尸檢所見的中綫结构，特別是松果体的位置，十分符合。

5. 一例硬膜下血肿的脑超声图分析中，M波与X綫額位片中的松果体钙化点位置，以及松果体钙化点在X綫側位片上的位置与超声探头在正中綫上所获得的明显回声的位置，有很好的相关关系。

总的說來，在成人有理由假定松果体钙化点与M波有关；而在儿童M波的来源可能是第三脑室壁、透明隔、大脑纵裂上部的一部分等。

第五章 M波来源的实验研究

前言

为了明确究竟脑正中平面内或其所属的那一种结构产生M波，进行了一系列反射式超声的模型实验。方法的设计使观察到的回声能反映包括回声来源的小而精确的解剖区域，并将脑标本放在塑料盒内，以消除顱骨的干扰，后一措施容許在正中平面的各点上作条件相同的回声探查。

研究包括下列几方面：

1. 成人脑中最大振幅回声与中綫结构解剖部位关系的分析。
2. 摘除松果体前后的最大振幅回声分析，并試图选择性复制M波。
3. 婴儿脑中最大振幅回声与中綫结构解剖部位关系的分析。
4. 大脑镰作为回声来源的重要性，及其对产生最大振幅M波的结构(如在1.及3.项中发现的)的解剖关系分析。

材料与方法

超声检查

必须采用新鲜的脑，从尸体上尽早和尽量细心地取下，以免损伤而产生回声假象。

为了避免脑因本身重量而引起的变形，须将其浸浮于比重相同的介质中，对成人适用 10% 转化糖溶液。儿童脑比重较低，用的是 10% 转化糖与等渗生理盐水（0.9%）的混合液，调整其间比例，使达到此目的。

超声检查中十分重要的是被研究的对象必须是没有空气或其他气体的。正如在第一章中所指出的，差不多 100% 的入射超声在气体与液体或固体的界面处被反射掉。抽除空气或其他气体的方法有两种：一是在水下移取尸体中的脑。这方法在成年人体上有技术上的困难。在婴儿尸体上较容易。另一是用普通的方法取出脑后，再抽除进入的空气及可能存在的其他气体。这方法用于大多数病例，以水下取婴儿脑的方法为补充及对照。在脑中抽气而不改变其物理性状是比较复杂的，方法详述如后。

在检查时盛放脑的塑料盒是用 10 毫米厚的有机玻璃制成的，其内部尺寸为长 165 毫米、宽 140 毫米、高 125 毫米。这尺寸与成人脑的大小接近，略有移动余地，但对脑不致因压力而造成变形。婴儿脑检查时盒底垫高 40 毫米。

在盒的冠状侧（Coronary sides，指与脑冠状面平行的侧面）的内面上垂直槽内，安置一形如大脑镰的铜片（代表正中平面），用以固定盒内脑的位置。超声检查时移去铜片，脑是浮在液体中，不予固定。

盒的两个冠状侧是可拆卸的。各侧外面都画成 20×20 毫米方格的坐标，分度线与盒的边缘平行。为了沿正中平面的垂直轴作超声探查，在盒顶上装置一桥形支架，可沿盒的矢状侧（lateral sides，指与脑矢状面平行的侧面）的顶缘滑行。在支架的正中开孔，可容超声探头置入，方向朝下与盒顶和盒底成直角。盒底用两只螺丝固定于一座子上。

超声探查时，在盒的矢状侧扫描并连续记录超声图。然后探查脑的正中平面，从两个成直角的方向进行：第一从冠

状侧前后位；第二从上述的桥形支架上下位，支架由一冠状侧滑行至另一冠状侧。用的是 24 毫米直径钛酸钡晶体探头，频率为 2 兆赫。超声回声扫描探查结果的分析限于从脑的正面获得的回声信号。

由于被检的脑是浮在盒内液体中，可以有一定程度的活动，故必须在探查的各期记录其盒外坐标上的位置。方法是用固定的照相机从矢状侧之一摄取脑与盒的照片，放大至 30×40 厘米，与透明塑料薄纸的线图相比较。如此在不同研究过程中，脑的位置如有改变，则易于发现及调整，所以同一坐标位置的超声图确切反映脑的同一部位。

超声探查结束后，脑在盒内用甲醛固定。为了避免脑的变形，盒内液体逐渐以 40% 甲醛置换，至脑仍继续悬浮为止。在硬化的过程中，脑的比重增加而趋于沉没；可以增加甲醛浓度以补救之。一般硬化过程持续 5~6 天，在此期间，脑的位置用上述的钢丝稳定之。待固定后重新排气，再作一次超声探查，然后用适当浓度的明胶埋藏放置于 1°C 冰箱内 24 小时。

解剖学检查

明胶埋藏的脑用热的脑刀切成与矢状侧坐标相符的 10 毫米厚的冠状切片。然后，收集松果体，检查其钙化程度：肉眼检查与组织学检查。组织学检查方法曾用：1. 苏木精染色法；2. Pearse 法（1953），用对照切片补充直接苏木精染色；3. Voigt（1957）介绍的方法，即一种特殊的钙化组织生化学指示法。

钙化程度分为下列数类：

1. 无——在组织切片中无钙化可见。
2. 稀疏——组织切片中可见钙化，但很有限。
3. 中等——组织切片中可见大量的钙化。
4. 丰富——肉眼见钙化。

抽气程序

这操作的目的是尽量缓和地排除脑室系统及蛛网膜下隙的空气及其他气体。抽气的工作是在 0~1°C 之间进行，因为在较高的温度时脑组织中的蒸气压增大，可致脑组织破裂而改变其物理特性。抽气装置包括：

1. 抽气泵：采用每小时抽气 2.5 米³ 的双级回转泵，可使压力降低至 10⁻⁴ 毫米汞柱。真空度用 Pirani 真空计测量和控制，其连接通入冷却阱与泵

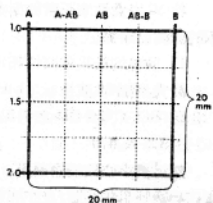


图 23 坐标示例（一格）

的联管中。

2. 冷却阱：一只大的 Dewar 缸，内充液氮，并设有 3 根 7 厘米直径、50 厘米长的玻璃管，可使所有的水蒸气凝结。

3. 真空室：是一有盖的大玻璃缸，内储以 10% 转化糖，以不锈钢丝网膜分为两层，上层较大（脑放在其中）。真空室一侧经冷却阱接至泵，另一侧经由三路旋塞接至二氧化碳、生理盐水及三乙醇胺。周围复以冰与盐的混合冷却剂，其中置有温度计，以测量周围液体的温度。真空室内的空气分压用 McLeod 真空计测量。

4. 二氧化碳进口：由二氧化碳容器、降压装置与水测压计组成。既能迅速充气，又可防止真空室内出现正压。

5. 三乙醇胺与生理盐水进口：三乙醇胺的输料管接于真空室与盐水瓶之间。生理盐水用水浴法加热，盐水中的气体用喷水泵抽去。

步驟

第一步 用泵抽气，至 Pirami 真空计 0.001 毫米汞柱，相当于真空室内分压为 0.10~0.05 毫米汞柱（McLeod 真空计）。

第二步 二氧化碳洗滌。二氧化碳由管子通至真空室底部，然后成为气泡在液体中上升；达到大气压时再用泵抽气至上述真空度。如此反复洗滌 4~5 次，使二氧化碳代替残留的空气。

第三步 将足量的三乙醇胺引入脑周围的液体中，使浓度达 1.5~2%，以吸收二氧化碳，然后立即进行第四步。

第四步 加温。将 60~70°C 无空气的生理盐水引入真空室内，使脑周围的液温升至 30~35°C。流速调节至 Pirami 真空计保持 0.001 毫米汞柱，如此则脑内温度上升极微。用 McLeod 真空计测量固定分压（指示残留的空气和二氧化碳），读数常在 0.002~0.003 毫米汞柱之间。以后就可以开启真空系统。

若在甲醛固定的脑抽气时，生理盐水的温度应较低，约 40°C。真空室开启后，将脑移入塑料盒，脑须始终浸在溶液内。然后从盒底放出转化糖与盐水混合液，而用漏斗注入纯 10% 转化糖以代之。甲醛固定的脑在抽气前用流动的水洗滌 24 小时。

* 在塑料盒的矢状侧扫描称“矢状侧扫描”（lateral scanning，下文表中以“LAT”表示）。在冠状侧扫描称“冠状侧扫描”（coronal scanning，表中以“COR”表示）。在盒顶桥形支架上滑动扫描称“中线扫描”（medial scanning，表中以“MED”表示）。

注 釋

上述抽气法误差的来源是脑在静止时周围液体的流体静力压尚有 5~10 毫米汞柱。用二氧化碳气泡法使脑不断转动，经常有一新的部分转向表面，即可以免除误差。

最大振幅回声与大脑中綫结构 的解剖位置間关系的分析

成 人 脑

本组从尸体中取脑进行超声探查者计有 12 例，年龄在 30~76 岁之间。脑标本编号以 N 为标记。这些病例死亡前病史中无任何神经系统征状，大脑肉眼所见正常，并不疑有病变。有些病例的脑与硬脑膜、脑镰、脑幕一并取下，这些组织均予移除；超声探查前，组织浸入液体内。

超声频率为 2 兆赫，应用钛酸钡晶体探头，其直径为 24 毫米，平均声强为 6×10^{-4} 瓦。在脑的矢状侧扫描时放大级（增益）用“5”，冠状侧及中线上扫描时放大级用“3”*。

除超声检查外，还进行了解剖学检查、甲醛固定后超声复查及组织学检查。结果见表 5。

注 釋

12 例脑标本超声探查均有显著 M 波出现，与解剖学检查的松果体位置相符。1 例（N20）M 波的显著性不能肯定，其组织学检查所见松果体仅有稀疏钙化现象，而其余 11 例的松果体均有丰富或中等的钙化。

成人的松果体

将 56 岁女性的正常脑标本进行超声检查，该标本的脑膜已除去。

1. 脑部的松果体原位超声检查：

最大振幅 M 波坐标：LAT BC-C:3.8, MED C:3.5 (BC, C 和 CD 之 3.5 处有显著 M 波) COR BC-C:3.8 及 4.0

然后极小心的摘除松果，避免损伤胼胝体的枕极。摘除松果体的脑（浸在液体中）和松果体分别作

表 5

脑标本 编 号	年 龄	性 别	超声图 M 波位置			松果体 剖检位置	甲醛固定后 M 波位置			组织学 检查钙 化程度
			LAT	MED	COR		LAT	MED	COR	
N 10	50	男	BC:2.5	未查	未查	BC:2.7 ~2.9	BC:2.7	未查	未查	中等
N 11	76	女	BC-C:3.5	C:3.5	BC-C:3.5	BC-C:3.3 ~3.5	BC-C:3.5	O:3.5	EC-O:3.5	丰富
N 12	67	女	C-CD:4.0	C:4.0	C:4.0	C:3.7~3.9	EC-C:3.5	O:3.5	C:4	中等
N 13	60	女	BC-C:3.7	BC-C:3.7	BC-C:3.7	BC-C:3.7 ~3.9	C:3.7	C-D:3.5	BC-C:3.5	中等
N 14	50	男	BC-C:3.7	BC-O:3.8	BC-C:3.7 ~4.0	BC-C:3.7 ~3.9	EC-C:3.7 ~4.1	O:3.8	EC-C:3.5 ~4.0	丰富
N 15	30	男	BC-C:3.7	BC-C:3.8	BC-C:3.5 ~4.0	BC-C:3.7 ~4.0	O:4	O:3.7	EC-O:4.0	丰富
N 16	70	女	BC-O:3.8	BC-C:3.7	BC:3.5 ~4.0	BC-C:3.7 ~3.9	EC-O:3.8	O:3.5	BC:3.5 ~4.0	丰富
N 17	48	女	C:4.0	C:4.0	BC-C:4.0	C:4.0~4.2	O:4	C:4	EC-C:4.5	中等
N 18	56	男	BC:3.5	BC:3.6	BC:3.5	BC:3.6 ~3.8	EC:3.5	EC:3.6	EC:3.5	丰富
N 19	60	男	BC:3.7	BC-C:3.5	BC-C:3.5	BC-C:3.6 ~3.8	BC:3.5	EC:3.5	EC-C:3.5 ~4.0	中等
N 20	72	女	不显著	C:3.6	C-CD:3.5 ~4.0	C-O:3.6 ~3.7	不显著	C:3.6	C:3.5	稀疏
N 21	73	男	C:3.3	C:3.2	C:3.5	C:3.8~3.5	×	×	×	丰富

* 作者未报导。

进一步检查。

2. 摘除松果体的脑部超声检查：

在矢状侧探查时，上述 BC-C:3.8 处出现的最大振幅 M 波差不多全部消失而代之以振幅不到 1 毫米的水纹波。中线探查时，BC 垂直线上显著的回声已完全消失，C 及 CD 垂直线上振幅缩小。冠状侧探查时，BC-C:3.8 及 4.0 处的振幅肯定缩小。邻近部位有振幅较大的新回声。解剖学检查时见肿瘤体的枕下极有摘除松果体时造成的微小创伤。

根据上述的结果，在中线和冠状面探查时，最大振幅 M 波之所以未完全消失，乃是由于摘除松果体时造成组织损伤而发生回声假象之故。

3. 摘下的松果体的 LAT 显著 M 波的选择性复制：

将移除的松果体置于塑料匣内的液体溶液中，不使接触空气。松果体放在盒的正中平面上，另在距此 2~3 厘米的同一平面上，放置一块外敷脑膜的脑组织，大小与松果体相仿，亦包埋在液体中。冷却塑料匣，液体即凝固，上述组织的位置即得固定。液体的温度不能超过 40°C，以防松果体与脑组织凝结在一起。超声探查所用的频率为 2 兆赫，探头为 24 和 10 毫米的晶体，声强同前，放大级略低。

超声探查结果，松果体的回声波形粗大、基底较宽、波峰分裂（图 29），与脑内松果体的 M 波的特性相同。探查脑组织时，如声强和放大级与前相同，即无回声，放大级增至最大时有微波（Minute wave）。声强（输出）加倍、放大级最大时，有粗大的回声出现，但与通常的 M 波并无共同之处（图 29）。

以上实验证明，松果体与反射面外敷脑膜的脑组织块的声阻抗差别很大；摘下的松果体与脑内的松果体，其 M 波特性相同。

为了进行模拟临床探查条件的实验，将颤壁部颤骨板介入探头与松果体之间（即贴靠塑料盒面对探查者的内壁），不使接触空气。透过颤骨超声探查的结果：在临床常用的最大放大级与 3~4 级脉冲强度下，有一强大的回声，其位置与松果体完全相符，特性也和前述的 M 波属同一类型（图 30）。

注 谱

上述实验证明，分离的松果体的超声反射比同样大小的脑组织的反射强得多，且与临床脑超声图的 M 波有相同的特性波形。

超声透过颤骨板检查分离的松果体时，有特性相同的回声，但只有在声强和放大级增大至临床所用数值时才能得到。